

第四章

仪 器 放 大 器

仪器放大器

目 录

| | |
|-----------------------------------------------------|--------|
| 混合电路仪器放大器指南..... | (4—8) |
| 术语定义..... | (4—4) |
| LH0036/LH0036C仪器放大器..... | (4—18) |
| LH0038/LH0038C理想仪器放大器..... | (4—26) |
| LH0084/LH0084C数字程控增益仪器放大器..... | (4—37) |
| LM121/LM221/LM321, LM321A/LM221A/LM321A精密前置放大器..... | (4—5) |
| LM363/LM363P精密仪器放大器..... | (4—13) |

注：关于仪器放大器的其他资料请参阅国家半导体公司的《混合电路产品数据手册》。

本指南中的所有放大器均为理想差动输入仪器放大器，都有很高的共模抑制比和可调增益。

| 特 点 | I_B | V_{OSin} | 特 性 | | 增 益 温 度 系 数 | 增 益 误 差 | 型 号 | | ** 页码 |
|-------------------------------------|-------|------------|----------------------------|---------|-------------|---------|--------------|---------------|----------|
| | Max | Max | $\Delta V_{OS} / \Delta T$ | 增 益 线 性 | | | -25°C ~ 85°C | -55°C ~ 125°C | |
| 功耗90μW，电源范围宽，采用一个外接增益设定电阻 | 125nA | 2mV | 10μV/°C | 0.03% | * | 3%max | LH0036C | | 3—4 |
| | 100nA | 1mV | 10μV/°C | 0.03% | | 1%max | | LH0036 | |
| 成本低，采用一个外接增益设定电阻 | | 2mV | 10μV/°C | 0.03% | * | 1% | LH0037C | | 3—12 |
| | 500nA | 1mV | 10μV/°C | 0.03% | * | 0.3% | | LH0037 | |
| 漂移极小，所有增益设定电阻均内藏，噪声极低，线性好，包含保护驱动放大器 | 100nA | 150μV | 1μV/°C max | 1ppm | 7ppm/°C | 0.1% | LH0038C | | 3—15 |
| | | 100μV | 0.25μV/°C max | 1ppm | 7ppm/°C | 0.1% | | LH0038 | |
| 程控增益快速设定 | 500pA | 10mV | 10μV/°C | 20ppm | 1ppm/°C | 0.8%max | LH0084C | | 3—26 |
| | 500pA | 5mV | 10μV/°C | 20ppm | 1ppm/°C | 0.3max | | LH0084 | |

*取决于外接电阻。

**参见《混合电路产品数据手册》，1982年版。

仪器放大器

术语定义

带宽：电压增益减至低频增益值的 $1/\sqrt{2}$ 时的频率。

共模抑制比：输入共模电压范围与在此范围内输入失调电压峰一峰变化的比值。

谐波失真：谐波失真的百分比定义为谐波均方根总和与基波幅度之比再乘以100%。用式子表示即为：

$$\frac{(V_2^2 + V_3^2 + V_4^2 + \dots)^{1/2}}{V_1} \times 100\%$$

式中 V_1 是基波幅度， V_2 、 V_3 、 V_4 …是各次谐波的均方根幅度。

输入偏置电流：两输入电流的平均值。

输入共模电压范围：使放大器可以工作而加在二输入端的电压范围。要注意的是除非另有说明，並不保证在整个共模电压范围内都符合参数规范。

输入阻抗：在规定的源电阻 (R_s) 和负载电阻 (R_L) 条件下，输入电压与输入电流的比值。

输入失调电流：当输出为零时，流入两输入端的电流差。

输入失调电压：通过两个相等的电阻加于输入端之间使输出电压为零的电压。

输入电阻：在任一输入端接地时，另一输入端的输入电压变化量与输入电流变化量的比值。

输入电压范围：使放大器能按参数规范正常工作而加在二输入端上的电压范围。

大信号电压增益：输出电压摆幅与将输出从零驱动至此幅度所需的输入电压变化量的比值。

输出阻抗：在规定的源电阻 (R_s) 和负载电阻 (R_L) 下，输出电压与输出电流的比值。

输出电阻：当输出电压在零附近时，在输出端呈现的小信号电阻。

输出电压摆幅：相对于零电位而言的、不产生削波的峰值输出电压摆幅。

失调电压温度漂移：对于温度从室温变化至指定的极限值的温度变化得到的失调电压平均漂移率。

电源电压抑制比：输入失调电压的变化量与产生此变化量所要的电源电压变化量的比值。

建立时间：从输入加上阶跃信号直到输出电压落入距最终电压一个规定的误差带内所用的时间。

转换速率：在输入端作用幅度很大的阶跃信号后，受内部限制可以得到的输出电压变化速率。

电源电流：在不加负载及输出电平处在电源电压中间位置时从放大器工作的电源拉出的电流。

瞬态响应：在小信号条件下，放大器的闭环阶跃响应。

单位增益带宽：从直流一直到使放大器的开环增益降至 1 的频率范围。

电压增益：在规定的源电阻 (R_s) 和负载电阻 (R_L) 条件下，输出电压与输入电压的比值。

仪器放大器

LM121/LM221/LM321,

LM121A/LM221A/LM321A精密前置放大器

概述

LM121系列是与通用型运算放大器一起工作以大大减小直流误差的精密前置放大器。漂移、偏置电流、共模和电源电压抑制比的指标都比标准运算放大器单独使用时高出50倍以上。而且，LM121附加的直流增益减小了闭环增益误差。

LM121系列可在±3V至±20V的电源电压下工作，并具有足够的电源电压抑制能力，可用未经调整的电源工作。工作电流在 $5\mu A$ 与 $200\mu A$ 之间可程序，所以可以在特定应用场合获得最佳的偏置电流、调电流、增益和噪声，而漂移仍然很小。由于采用了超增益晶体管作输入级，在相同的工作电流下，输入误差电流比一般放大器低。此外，初始失调电压可方便地调至零。

特点

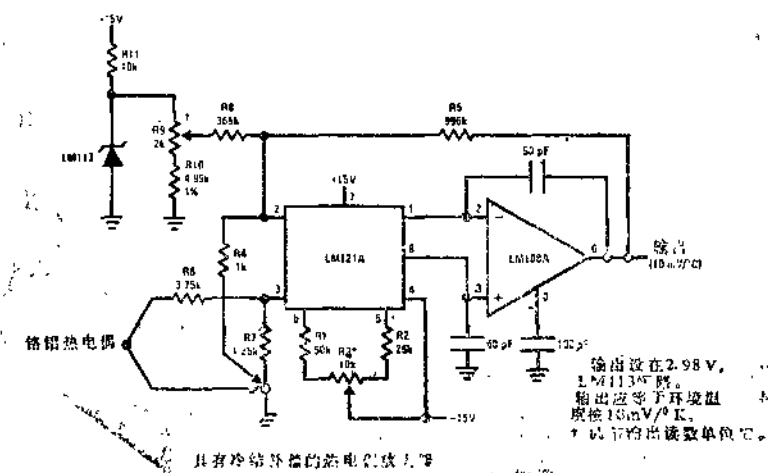
- LM121A系列漂移的保证值 $[0.2\mu V/{^\circ}C]$
- LM121系列漂移的保证值 $1\mu V/{^\circ}C$
- 失调电压小于 $0.4mV$
- 工作电流为 $10\mu A$ 时偏置电流小于 $10nA$
- 共模抑制比的最小值为 $126dB$
- 电源电压抑制比为 $120dB$
- 失调电压调零方便

LM121由于漂移极小，因而能改善几乎所有精密直流电路的精度。例如，目前采用斩波放大器的仪器放大器、应变仪放大器及热电偶放大器都可以采用LM121。全差动输入和高的共模抑制能力是本器件优于斩波器的另外两个优点。在低偏置电流比漂移更为重要的场合，工作电流可减小到较低的值。高的工作电流用来在低的源电阻下获得低的电压噪声。LM121的工作电流可程

控，因此可适应输入特性以与特定的运算放大器相匹配。

LM121的工作温度范围为 $-55{^\circ}C$ 至 $+125{^\circ}C$ ，LM221 和 LM321 的工作温度范围则分别为 $-25{^\circ}C$ 至 $+85{^\circ}C$ 和 $0{^\circ}C$ 至 $+70{^\circ}C$ 。

典型应用



绝对最大额定值

| | | | |
|-------------------|-------|-----------------|----------------|
| 电源电压 | ±20V | LM121 | −55°C ~ +125°C |
| 功率耗散 (注 1) | 500mW | LM221 | −25°C ~ +85°C |
| 差动输入电压 (注 2 和注 3) | ±15V | LM321 | 0°C ~ +70°C |
| 输入电压 (注 3) | ±15V | 存储温度范围 | −65°C ~ +150°C |
| 工作电压范围 | | 引线温度 (焊锡, 10秒钟) | 300°C |

电特性(注4)LM121, LM221, LM321

| 参数 | 条件 | LM121, LM221 | | | LM321 | | | 单位 |
|---------------|-----------------------------------------------------------------|--------------|-----|---------|-------|-----|-----|--------|
| | | 最小值 | 典型值 | 最大值 | 最小值 | 典型值 | 最大值 | |
| 输入失调电压 | $T_A = 25^\circ\text{C}$, $6.4\text{K} < R_{SET} < 70\text{K}$ | | 0.7 | | | 1.5 | | mV |
| 输入失调电流 | $T_A = 25^\circ\text{C}$ | | | 1 | | 2 | | nA |
| | $R_{SET} = 70\text{K}$ | | | 10 | | 20 | | nA |
| | $R_{SET} = 6.4\text{K}$ | | | | | | | |
| 输入偏置电流 | $T_A = 25^\circ\text{C}$ | | | 10 | | 18 | | nA |
| | $R_{SET} = 70\text{K}$ | | | 100 | | 180 | | nA |
| 输入电阻 | $T_A = 25^\circ\text{C}$ | | | | | | | |
| | $R_{SET} = 70\text{K}$ | 4 | | 2 | | | | MΩ |
| | $R_{SET} = 6.4\text{K}$ | 0.4 | | 0.2 | | | | MΩ |
| 电源电流 | $T_A = 25^\circ\text{C}$, $R_{TSE} = 70\text{K}$ | | 1.5 | | | 2.2 | | mA |
| 输入失调电压 | $6.4\text{K} < R_{SET} < 70\text{K}$ | | 1.0 | | | 2.5 | | mV |
| 输入偏置电流 | $R_{SET} = 70\text{K}$ | | 30 | | | 28 | | nA |
| | $R_{SET} = 6.4\text{K}$ | | 300 | | | 280 | | nA |
| 输入失调电流 | $R_{SET} = 70\text{K}$ | | 8 | | | 4 | | nA |
| | $R_{SET} = 6.4\text{K}$ | | 30 | | | 40 | | nA |
| 输入失调电流漂移 | $R_S < 200\Omega$, $6.4\text{K} < R_{SET} < 70\text{K}$ | 3 | | 8 | | 8 | | PA/°C |
| 输入失调电流的平均温度系数 | | | 1 | | | 1 | | μV/°C |
| 长时间稳定性 | 失调电压调至零 | 5 | | 5 | | 5 | | μV/年 |
| 电源电流 | | | 2.5 | | | 3.5 | | mA |
| 输入电压范围 | $V_S = \pm 15\text{V}$, (注 5) | | | | | | | V |
| | $R_{SET} = 70\text{K}$ | ±13 | | ±13 | | | | V |
| | $R_{SET} = 6.4\text{K}$ | +7, -13 | | +7, -13 | | | | |
| 共模抑制比 | $R_{SET} = 70\text{K}$ | 120 | | 114 | | | | dB |
| | $R_{SET} = 6.4\text{K}$ | 114 | | 114 | | | | dB |
| 电源电压抑制比 | $R_{SET} = 70\text{K}$ | 120 | | 114 | | | | dB |
| | $R_{SET} = 6.4\text{K}$ | 114 | | 114 | | | | dB |
| 电源增益 | $T_A = 25^\circ\text{C}$, $R_{SET} = 70\text{K}$ | | | | | | | |
| | $R_L > 3M\Omega$ | 16 | | 12 | | | | V/V |
| 噪底 | $R_{SET} = 70\text{K}$, $R_{SOURCE} = 0$ | 8 | | 8 | | | | nV/√Hz |

注 1: LM121 的最高结温为 150°C, LM221 的最高结温为 100°C, LM321 的最高结温为 35°C。在高温下工作时, 采用 TO-5 封装的器件应按 150°C/W (结至环境) 或 45°C/W (结至外壳) 的热阻降低额定值使用。采用扁平型封装的器件当安装在带有 10 根 0.03 英寸宽、2 线铜导体的 1/6 英寸厚的环氧树脂玻璃板上时, 则按 185°C/W 的热阻降低额定值使用。双列直插式封装结至环境的热阻为 100°C/W。

注 2: 输入与背对背二极管并联, 背对背二极管与一只 500Ω 电阻串联以实现过压保护。因此, 如果超过 1V 的差动输入电压加在输入端之间, 就会产生过量的电流。

注 3: 电源电压小于 ±15V 时, 绝对最大输入电压就等于电源电压。

注 4: 除非另有说明, 所列规范适用于 ±5V < V_S < ±20V 和 −55°C < T_A < +125°C。然而, 对于 LM221, 所有规范适用于 −25°C < T_A < +85°C, 而对于 LM321, 所有规范适用于 0°C 至 +70°C 的温度范围。

注 5: 为了增大共模范围, 在 1 脚和 8 脚至 7 脚之间可外接 0.1% 的精密电阻。

绝对最大额定值

| | | | |
|------------------|-----------|-----------------|----------------|
| 电源电压 | $\pm 20V$ | LM121A | -55°C ~ +125°C |
| 功率耗散 (注 1) | 500mW | LM221A | -25°C ~ +85°C |
| 差动输入电压(注 2 和注 3) | $\pm 15V$ | LM321A | 0°C ~ +70°C |
| 输入电压 (注 3) | $\pm 15V$ | 存储温度范围 | -65°C ~ +150°C |
| 工作温度范围 | | 引线温度 (焊锡, 10秒钟) | 300°C |

电特性(注4)LM121A, LM221A, LM321A

| 参数 | 条 件 | LM121A, LM221A | | | LM321A | | | 单 位 |
|---------------|-------------------------------------------------------------------|-----------------------|------------|-----------------------|------------|------------------------------|-----|-----|
| | | 最小值 | 典型值 | 最大值 | 最小值 | 典型值 | 最大值 | |
| 输入失调电压 | $T_A = 25^\circ C$ $6.4K < R_{SET} < 70K$ | | 0.2 | 0.4 | | 0.2 | 0.4 | mV |
| 输入失调电流 | $T_A = 25^\circ C$ $R_{SET} = 70K$ $R_{SET} = 6.4K$ | | 0.3 | 0.5 | | 0.3 | 0.5 | nA |
| 输入偏置电流 | $T_A = 25^\circ C$ $R_{SET} = 70K$ $R_{SET} = 6.4K$ | | 5 | 10 | | 5 | 15 | nA |
| 输入电阻 | $T_A = 25^\circ C$ $R_{SET} = 70K$ $R_{SET} = 6.4K$ | 4 0.4 | 8 0.5 | 2 0.2 | 8 | 2.2 | 50 | MΩ |
| 电源电流 | $T_A = 25^\circ C, R_{SET} = 70K$ | 0.8 | 1.5 | 0.8 | 2.2 | mA | | |
| 输入失调电压 | $6.4K < R_{SET} < 70K$ | 0.5 | 0.65 | 0.5 | 0.65 | mV | | |
| 输入偏置电流 | $R_{SET} = 70K$ $R_{SET} = 6.4K$ | 15 150 | 30 300 | 15 150 | 25 250 | nA | | |
| 输入失调电流 | $R_{SET} = 70K$ $R_{SET} = 6.4K$ $R_{SET} = 70K$ | 0.5 5 8 | 1 10 | 0.5 5 | 1 10 | nA | | |
| 输入失调电流漂移 | $R_S < 200\Omega, 6.4K < R_{SET} < 70K$ | 0.07 | 0.2 | 0.07 | 0.2 | $\mu V/\text{°C}$ | | |
| 输入失调电压的平均温度系数 | 失调电压调至零 | 3 | | 3 | | $\mu V/\text{年}$ | | |
| 长时间稳定性 | | 1 | 2.5 | 1 | 3.5 | mA | | |
| 电源电流 | | | | | | | | |
| 输入电压范围 | $V = \pm 15V, (\text{注5})$ $R_{SET} = 70K$ $R_{SET} = 6.4K$ | ± 13 $+7, -13$ | | ± 13 $+7, -13$ | | | | V |
| 共模抑制比 | $R_{SET} = 70K$ $R_{SET} = 6.4K$ | 126 120 | 140 130 | 126 120 | 140 130 | dB | | |
| 电源电压抑制比 | $R_{SET} = 70K$ $R_{SET} = 6.4K$ | 120 114 | 126 120 | 118 114 | 126 120 | dB | | |
| 电压增益 | $T_A = 25^\circ C, R_{SET} = 70K$ $R_L > 3M\Omega$ | 16 | 20 | 12 | 20 | V/V | | |
| 噪声 | $R_{SET} = 70K, R_{SOURCE} = 0$ | | 8 | | 8 | $\text{hV}/\sqrt{\text{Hz}}$ | | |

注 1: LM121A 的最高结温为 150°C, LM221A 的最高结温为 100°C, LM321A 的最高结温为 85°C。在高湿下工作时, 采用 TC-5 封装的器件应按 $150^\circ C/W$ (铝壳环焊) 或 $41^\circ C/W$ (塑壳外壳) 的热阻 Junction-to-Case 定值使用。采用扁平型封装的器件当安装在带 0.16×0.65 英寸宽、2 盒引线尺寸的 $1/8$ 英寸高的环氧树脂或玻纤板上时, 则按 $185^\circ C/W$ 的热阻 Junction-to-Case 定值使用。双列直插式封装的器件环焊的热阻为 $100^\circ C/W$ 。

注 2: 输入与背对背二极管并联, 背对背二极管与一只 500Ω 电阻串联以实现过压保护。因此, 如果超过 1V 的差动输入电压加在输入端之间, 就会产生过量的电流。

注 3: 电源电压小于 $\pm 15V$ 时, 绝对最大输入电压就等于电源电压。

注 4: 除非另有说明, 所列规范适用于 $\pm 5V < V_S < \pm 20V$ 和 $-55^\circ C < T_A < +125^\circ C$ 。然而, 对于 LM221A 所有规范适用于 $-25^\circ C < T_A < 85^\circ C$, 而对于 LM321A, 所有规范适用于 $0^\circ C$ 至 $+70^\circ C$ 的温度范围。

注 5: 为了增大正共模范围, 在 1 脚和 8 脚至 7 脚之间可外接 0.1% 的精密电阻。

频率补偿

通用补偿法

LM121前置放大器与一只运算放大器一起使用时，为得到额外的增益必须进行额外的频率补偿。当运算放大器与LM121一起使用时的闭环增益小于LM121单独使用时的增益时，须作进一步补偿。最不利的情况发生在100%反馈，如用作电压跟随器或积分器以及LM121的增益较高时。当采用高的闭环增益（如 $A_v = 1000$ ）以及LM121只提供200的额外增益时，运算放大器的频率补偿通常就够了。

这里所指的频率补偿是适用于任何单位增益稳定运算放大器的。图1是频率稳定网络的基本线路图。工作中LM121通过单端接地的一只0.01μF旁路电容提供输出，总频率补偿通过运算放大器的积分电容得到。

$$\text{单位增益时的带宽} \cong \frac{12}{2\pi R_{SET} C}$$

对于0.5MHz的带宽

$$C = \frac{4}{10^6 R_{SET}}$$

当与频率较高的运算放大器（如LM118）一起使用时，带宽可增加至2MHz左右。

如果闭环增益大于1，C可减小：

$$C = \frac{4}{10^6 A_{CL} R_{SET}}$$

另一种补偿法

为改善电源电压的抑制性能，可使两只补偿电容相等。这时补偿电容的公式为：

$$C = \frac{8}{10^6 A_{CL} R_{SET}}$$

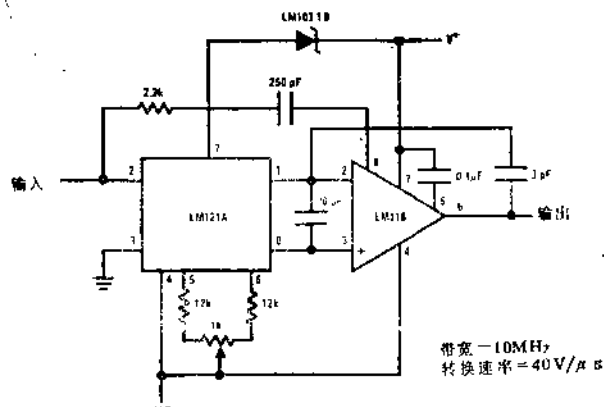
表1列出了不同增益和工作电流下两个补偿电容的典型值。

表1适用于LM108、LM101A、LM741和LM118。电容的单位为pF。

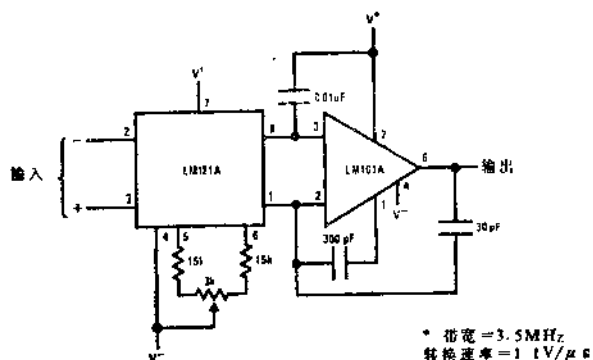
表 1

| 闭环增益 | 电 流 设 定 电 阻 | | | | |
|--------------|-------------|------|------|------|------|
| | 120KΩ | 60KΩ | 30KΩ | 12KΩ | 6KΩ |
| $A_v = 1$ | 68 | 130 | 270 | 680 | 1300 |
| $A_v = 5$ | 15 | 27 | 56 | 130 | 270 |
| $A_v = 10$ | 10 | 15 | 27 | 68 | 130 |
| $A_v = 50$ | 1 | 3 | 5 | 15 | 27 |
| $A_v = 100$ | — | 1 | 8 | 5 | 10 |
| $A_v = 500$ | — | — | 1 | 1 | 8 |
| $A_v = 1000$ | — | — | — | — | — |

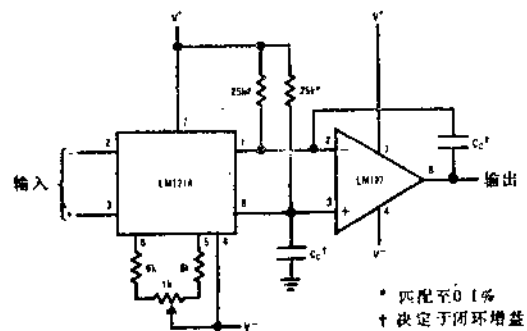
典型应用(续)



高速* 低源移反相放大器



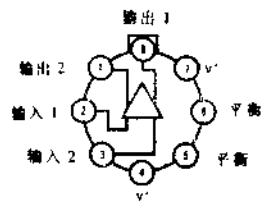
中速* 通用放大器



扩大大电流工作时的共模范围

连接图

专用壳封装



注：4脚接外壳

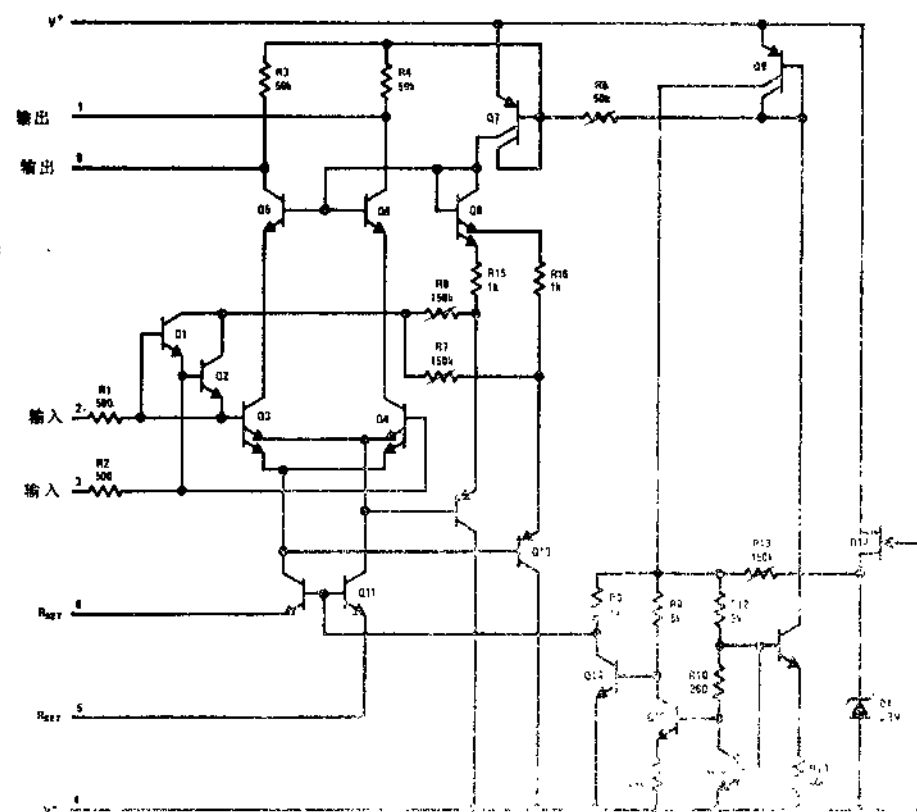
顶视图

序号 LM123H,
LM221H, LM321H, LM121AH,
LM221AH 及 LM321AH

参看NS封装H08C

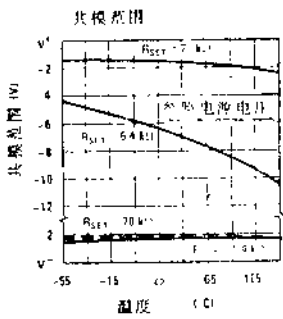
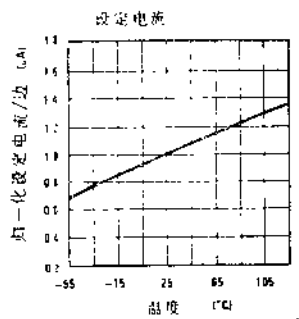
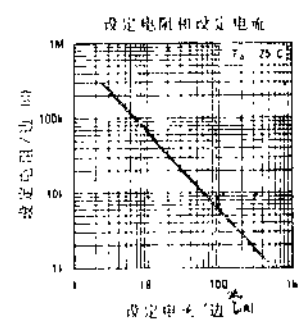
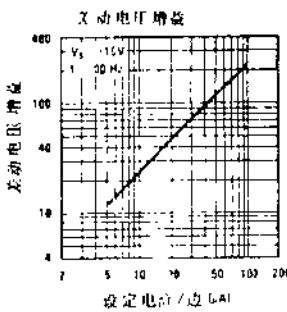
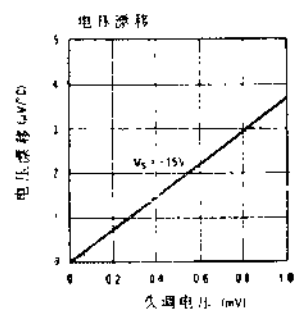
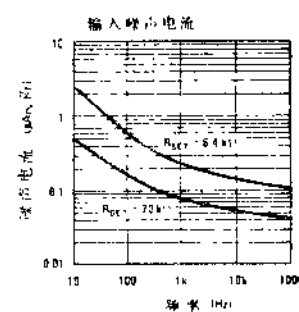
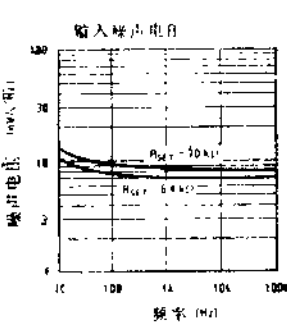
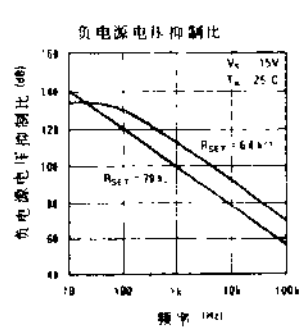
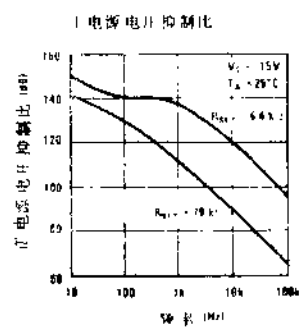
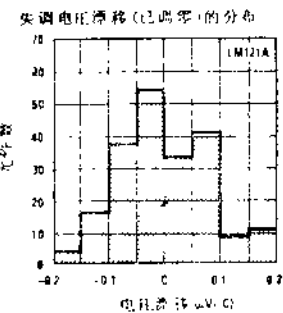
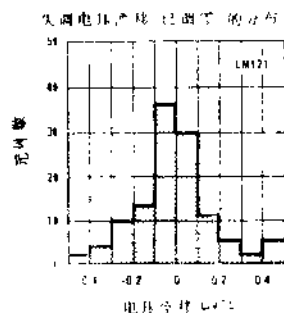
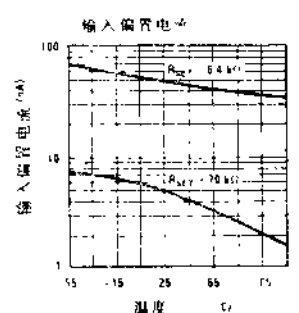
注：输出为同序号输入的倒相

电原理图

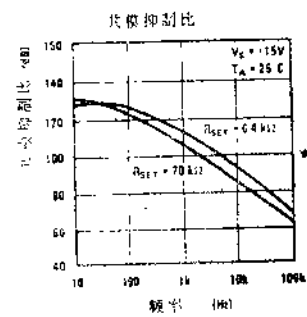
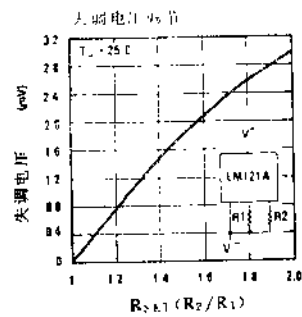
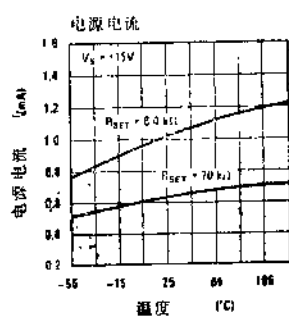
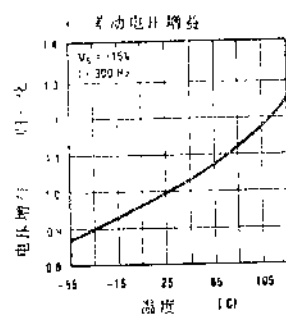
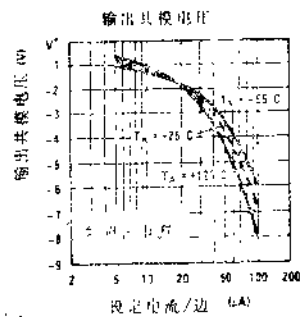
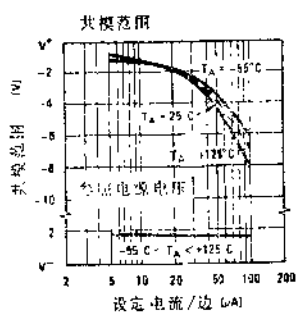


* 电原理图和典型应用中的引出端子号码标注见TQ-5或T4-2。

典型工作特性曲线



典型工作特性曲线(续)



仪器放大器(试制产品)

LM163/LM363精密仪器放大器

概述

LM163是一种单片的理想仪器放大器。它不必为10, 100和1000的固定增益外接元件。高精度是通过在芯片上修整失调电压和增益得到的。超 β 双极输入级给出极低的输入电压噪声、极低的失调电压漂移和高的共模抑制比。新的两级放大器设计产生10,000,000倍的开环增益和30MHz的增益带宽乘积，而且即使电容负载很大时，在各种闭环增益下仍能保持稳定。电源电压范围为 $\pm 5V$ 至 $\pm 18V$ 。

LM163具有分开的加载、读出和基准端，采用外接电阻增加增益。双差分屏蔽驱动器消除了由屏蔽电容引起的带宽损失。补偿端用于简单低通滤波。LM163在上述应用场合采用16脚双列直插式封装。

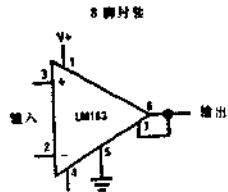
对要求单一固定增益的不苛刻的应用场合，器件也可采用8脚TO-5封装。在8脚的封装中屏蔽驱动、增益选择和失调调节端都没有了。增益预先设定在10、100或500，但用外接电阻仍可以提高增益。

LM163在-55℃至+125℃温度范围内工作，LM333在0℃至70℃温度范围内工作。

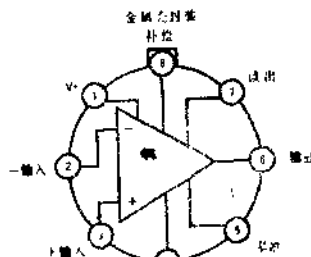
特点

- 失调和增益预先修整
 - 不需外接元件
 - 输入噪声为 $7\text{nV}/\sqrt{\text{Hz}}$
 - 差分屏蔽驱动
 - 共模抑制比典型值为 130dB
 - 可在 $0.5\mu\text{V}/^\circ\text{C}$ 的最大漂移值下工作
 - 偏置电流典型值为 2nA
 - 可用作高性能运算放大器

典型连接

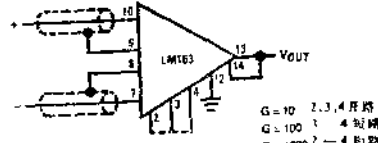


连接图

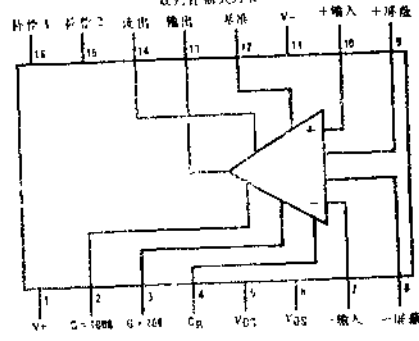


序号 LM163A1-10,
LM163H-10, LM363AH-10, LM363H-10,
LM163AH-100, LM163H-100, LM363AH-100,
LM368H-100, LM163AH-500, LM163H-500,
LM363AH-500 及 LM363H-500
© BNSH 发 H08C

16版 H 9



以及有機式材料



IP-5 LM183AD,
LM136D, LM363AD & LM363D
±5%NSU裝D16C

绝对最大额定值

| | | | |
|--------|-------|---------|--------|
| 电源电压 | ±18V | 共模输入电压 | 等于电源电压 |
| 差动输入电压 | ±10V | 基准和读出电压 | ±25V |
| 差动输入电流 | ±20mA | | |

电特性(注1)

| 参数 | 条件 | LM163A/LM363A | | | | LM163 | | | LM363 | | | 单位 |
|------------------|------------------------------|---------------|------|-----|------|-------|------|--------|-------|-----|-----|----|
| | | 最小值 | 典型值 | 最大值 | 最小值 | 典型值 | 最大值 | 最小值 | 典型值 | 最大值 | 最小值 | |
| 输入失调电压 | TA = 25°C, G = 500 | 10 | ±30 | 20 | ±50 | 30 | ±100 | μV | | | | |
| 固定增益 | G = 100 | 25 | ±75 | 35 | ±100 | 50 | ±200 | μV | | | | |
| | G = 10 | 0.2 | ±0.6 | 0.3 | ±10 | 0.5 | ±2.0 | mV | | | | |
| 全温度范围 | | | | | | | | | | | | |
| | G = 500 | | ±80 | | ±150 | | ±300 | μV | | | | |
| | G = 100 | | ±200 | | ±400 | | ±500 | μV | | | | |
| | x = 10 | | ±2 | | ±4 | | ±5 | mV | | | | |
| 输入失调电压的温度漂移 | G = 500 | 0.2 | ±0.5 | | ±2 | | ±4 | μV/°C | | | | |
| 固定增益 | G = 100 | | ±2.0 | | ±5 | | ±8 | μV/°C | | | | |
| | G = 10 | | ±25 | | ±50 | | ±75 | μV/°C | | | | |
| 输入失调电压 | TA = 25°C, G = 1000 | 10 | ±50 | 25 | ±100 | 50 | ±200 | μV | | | | |
| 程控增益 | G = 100 | 25 | ±150 | 50 | ±300 | 100 | ±400 | μV | | | | |
| | G = 10 | 0.3 | ±1 | 0.5 | ±2 | 1.0 | ±8 | mV | | | | |
| 全温度范围 | | | | | | | | | | | | |
| | G = 1000 | | ±100 | | ±200 | | ±400 | μV | | | | |
| | G = 100 | | ±300 | | ±500 | | ±800 | μV | | | | |
| | G = 10 | | ±3 | | ±6 | | ±7 | mV | | | | |
| 输入失调电压的温度漂移 | G = 1000 | 0.2 | ±0.5 | 0.5 | ±3 | 0.8 | ±5 | μV/°C | | | | |
| 基准增益 | G = 100 | 0.5 | ±2.0 | 2.0 | ±6 | 2 | ±10 | μV/°C | | | | |
| | G = 10 | 5.0 | ±25 | 10 | ±80 | 10 | ±100 | μV/°C | | | | |
| 共模抑制比 | G = 500/1000 | 126 | 140 | 120 | 130 | 114 | 130 | | | | | dB |
| 全温度范围 | | 115 | | 106 | | 104 | | | | | | dB |
| | G = 100 | 112 | 130 | 106 | 125 | 94 | 120 | | | | | dB |
| 全温度范围 | | 100 | | 94 | | 84 | | | | | | dB |
| | G = 10 | 100 | 115 | 94 | 110 | 90 | 105 | | | | | dB |
| 全温度范围 | | 88 | | 82 | | 80 | | | | | | dB |
| 输入偏置电流 | -5 | 2 | 5 | -5 | 2 | 5 | -10 | nA | | | | |
| 全温度范围 | -10 | 4 | 10 | -10 | 4 | 10 | -20 | nA | | | | |
| 差模输入电阻 | G = 10 | 20 | | | 20 | | 20 | GΩ | | | | |
| | G = 100 | 2 | | | 2 | | 2 | GΩ | | | | |
| | G = 500/1000 | 0.2 | | | 0.2 | | 0.2 | GΩ | | | | |
| 共模输入电阻 | 所有增益 | 100 | | | 100 | | 100 | GΩ | | | | |
| 输入失调电流 | 0.2 | 1.0 | | 0.5 | 1 | | 0.5 | nA | | | | |
| 全温度范围 | | 2 | | | 2 | | 5 | nA | | | | |
| 输入失调电流变化 | -11V < V _{CM} < 13V | | 50 | | 100 | | 100 | PV/V | | | | |
| 全温度范围 | | | 150 | | 300 | | 300 | PV/V | | | | |
| 输入电压噪声 | G = 500/1000 | 7 | | | 7 | | 7 | nV/√Hz | | | | |
| 均方根值 | G = 100 | 12 | | | 12 | | 12 | | | | | |
| 10Hz < f < 10KHz | G = 10 | 50 | | | 50 | | 50 | nV/√Hz | | | | |
| 输入电压噪声 | G = 500/1000 | 0.4 | | 0.4 | | 0.4 | | 0.4 | μV | | | |
| 峰-峰值(注2) | G = 100 | 1.5 | | 1.5 | | 1.5 | | 1.5 | μV | | | |
| | G = 10 | 10 | | 10 | | 10 | | 10 | μV | | | |

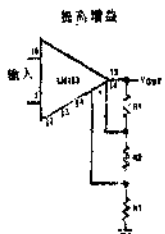
注1：除非另有说明，采用条件是：V⁺ = V⁻ = 15V，输出负载 = 0，共地端接地，输出读出端接至输出加载端，结温为25°C。

注2：在频宽为0.01Hz至10Hz时测试100秒钟。

电特性(续)(注1)

| 参数 | 条件 | LM163A/LM363A | | | LM163 | | | LM363 | | | 单位 |
|-------------|------------------------------------------------------------------|-------------------------------------------------|--------------------------|--------------------------|---------------------------|--------------------------|--------------------------|--------------------------|--------------------------|-------------|------------------------------|
| | | 最小值 | 典型值 | 最大值 | 最小值 | 典型值 | 最大值 | 最小值 | 典型值 | 最大值 | |
| 输入电流噪声均方根值 | $10\text{Hz} < f < 10\text{KHz}$ | 0.15 | | | 0.15 | | | 0.15 | | | $\text{pA}/\sqrt{\text{Hz}}$ |
| 输入电流噪声峰一峰值 | $0.01\text{Hz} < f < 10\text{Hz}$ | 40 | | | 40 | | | 40 | | | pA |
| 增益误差 | 固定增益 = 10, 100, 500 程控增益 = 100 程控增益 = 10 程控增益 = 1000 | 0.05 0.2 0.05 0.2 0.4 0.4 0.4 | 0.2 1.0 1.0 1.0 | 0.3 0.3 1.0 1.0 | 0.05 0.1 0.3 0.4 | 0.3 1.0 1.0 1.0 | 0.3 0.5 1.5 1.5 | 0.1 0.1 0.3 0.4 | 0.5 0.5 1.5 1.5 | % % % | % |
| 增益非线性度 | $-10\text{V} \leq V_{\text{OUT}} \leq +10\text{V}$ | | | | | | | | | | |
| | $G = 10, 100$ | 0.005 0.007 | 0.01 0.02 | | 0.005 0.007 | 0.02 0.03 | | 0.01 0.05 | 0.03 0.05 | | % |
| 电源电压抑制比—正 | $G = 500, 1000$ | 120 105 90 | 130 120 100 | | 120 105 90 | 130 120 100 | | 110 100 85 | 130 120 100 | | dB |
| 电源电压抑制比—负 | $G = 500, 1000$ | 110 98 80 | 120 106 86 | | 105 90 75 | 120 106 86 | | 100 85 70 | 120 108 86 | | dB |
| 共模输入电压范围 | $V^+ = V^- = 15\text{V}$ | = 11.6 | + 13.8 | - 11.6 | + 13.8 | - 11.6 | | ± 13.8 | | | V |
| | $V^+ = V^- = 5\text{V}$ | - 2.75 | + 3.8 | - 2.75 | + 3.8 | - 2.75 | | ± 3.8 | | | V |
| 小信号带宽 | $G = 500, 1000$ | 30 | | | 30 | | | 30 | | | KHz |
| | $G = 100$ | 100 | | | 100 | | | 100 | | | KHz |
| | $G = 10$ | 200 | | | 200 | | | 200 | | | KHz |
| 建立时间(至0.1%) | $\Delta V_{\text{OUT}} = 10\text{V},$ $G = 500, 1000$ | 70 | | | 70 | | | 70 | | | μs |
| | $G = 100$ | 25 | | | 25 | | | 25 | | | μs |
| | $G = 10$ | 20 | | | 20 | | | 20 | | | μs |
| 开环增益 | $G = 500, 1000$ | 2×10^6 | 10^7 | | 2×10^6 | 10^7 | | 10^6 | 10^7 | | V/V |
| 输出失调电压变化 | $G = 500, 1000$ | 15 | | | 15 | | | 15 | | | PPm/C |
| | $G = 100$ | 5 | | | 5 | | | 5 | | | PPm/C |
| | $G = 10$ | 5 | | | 5 | | | 5 | | | PPm/C |
| 电源电流 | 正 | 1.2 | 1.8 | | 1.2 | 1.8 | | 1.2 | 2.2 | | mA |
| | 负 | 1.6 | 2.2 | | 1.6 | 2.2 | | 1.6 | 2.5 | | mA |
| 基准和反馈电阻 | | 35 | 50 | 70 | 35 | 50 | 70 | 30 | 50 | 80 | $\text{k}\Omega$ |

典型应用



R₁和R₂尽可能不以消耗两条基准和输出端的50Ω输入阻抗引入误差。总电阻(R₂+2R₁)应大于4KΩ，以防止LM163输出的失真过大。计算增益的精确表达式为：

$$G = G_0 \left(1 + \frac{2R_1}{R_2} + \frac{R_1}{25\text{k}} \right)$$

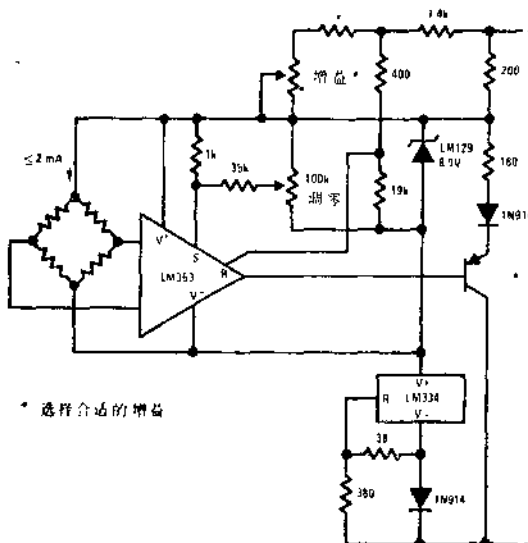
G₀ = 基准增益

在输出失调电压“负”方框条件下，上式的最后一项可以忽略。下表给出了负反馈放大器的增益及：“基准增益”和“反馈电阻”产生的误差数据。

| 增益/增益 | 1.0 | 2 | 2.5 | 3 | 3.5 | 4 | 5 | 6 | 7 | 8 | 9 | 10 |
|----------------|-------|-------|-------|-------|-------|-------|-------|-------|-------|-------|-------|-------|
| R ₁ | 1.2k | 1.2k | 2k | 2.4k | 2.7k | 3k | 3.5k | 4k | 4.5k | 4.8k | 5.2k | 5.5k |
| R ₂ | 2.5k | 2.74k | 2.99k | 3.2k | 3.4k | 3.6k | 3.8k | 4.2k | 4.4k | 4.6k | 4.8k | 5.0k |
| 误差 | ±0.5% | ±0.5% | ±0.5% | ±0.5% | ±0.5% | ±0.5% | ±0.5% | ±0.5% | ±0.5% | ±0.5% | ±0.5% | ±0.5% |

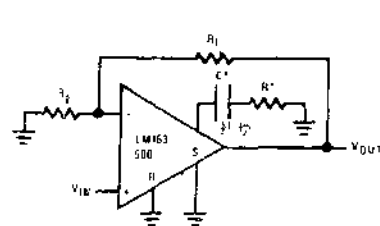
典型应用(续)

4 mA - 24 mA 重送器



电流调整非常容易，因为LM163采用齐纳基准，驱动晶体管通过电位电桥后，后电路可得到简化。增益和失调调节相互不会影响。 $2\mu A$ 的电流可供半自动线路。

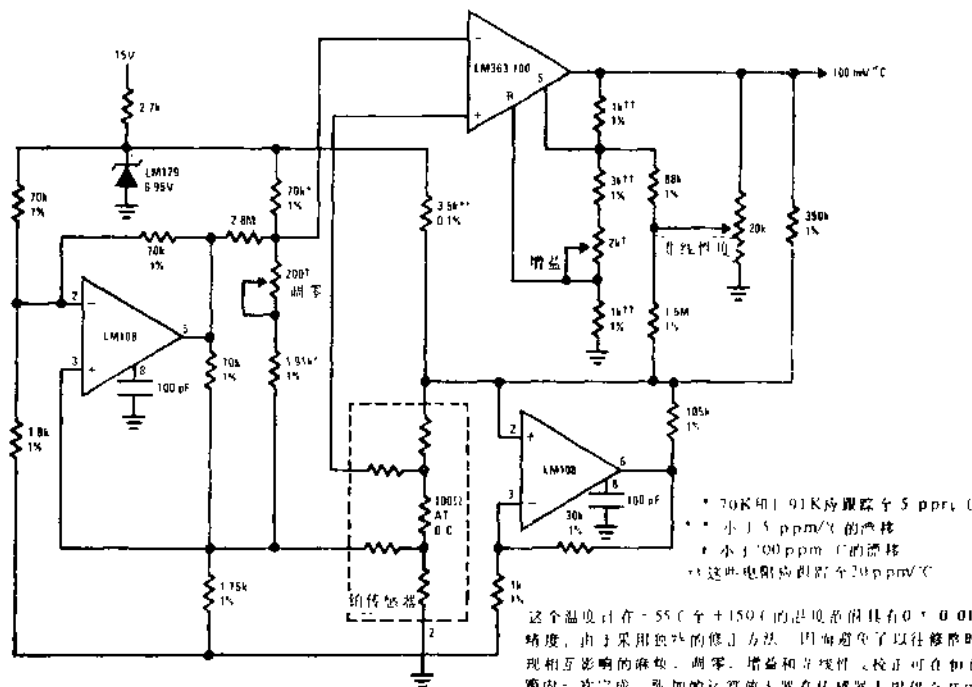
別有精深造境於人間的LM193



* 选择原则为得到最佳分辨率，建议增加至 1000 时可省略

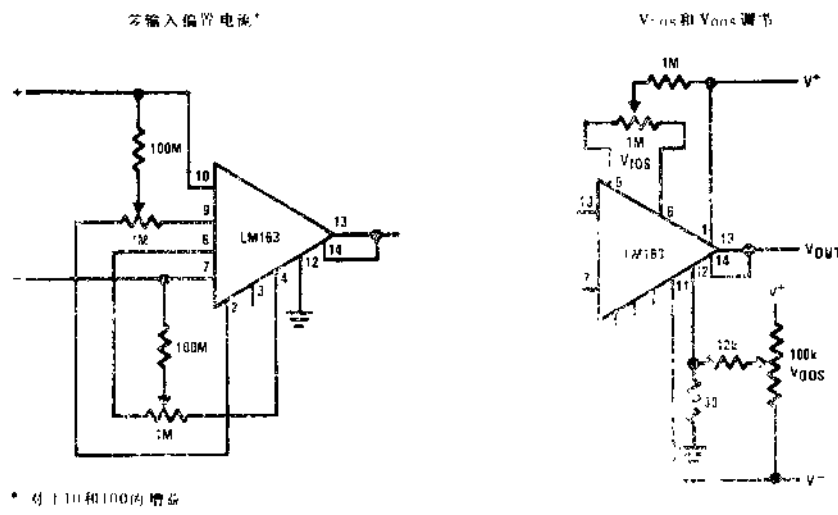
• 选择合适的增益

抽壳机构的抽 RTD 温度：



这个温度计在 $-55^{\circ}\text{C} \pm 150^{\circ}\text{C}$ 的温区范围内具有 ± 0.01 的精度。由于采用独特的修正方法，因而避免了以往修整时出现相互影响的麻烦。调零、增益和反馈性校正可在恒温箱内一次完成。附加的加热使人器在敏感器上提供全天候温度读出，而不会出现在其温度读数中常见的附加漂移和失真项。

典型应用(续)



简化电原理图(16脚双列直插式封装)

